

- [3] Sugai S. // Phys. rev. 1987. V. 146. N 13.
- [4] Provenccher R. et all. // Phys. stat. sol. (a). 1987. V. 103. N 107.
- [5] Eatough M.O. et all. // Appl. Phys. Lett. 1987. V. 51. N 5.
- [6] Kazuta M., Tanaka K., Nakada I. // Preprint 106. Inst. Sol. State. Phys. 1987. Japan.

Поступило в Редакцию
22 декабря 1988 г.

Письма в ЖТФ, том 15, вып. 7
04;09

12 апреля 1989 г.

О РОЛИ ТЯЖЕЛЫХ ПРИМЕСЕЙ ПРИ ИОННОМ ЦИКЛОТРОННОМ НАГРЕВЕ ПЛАЗМЫ

М.А. Ирзак, И.П. Павлов,
О.Н. Щербанин

Эксперименты по ионному циклотронному нагреву плазмы ведутся в настоящее время во многих токамаках и считаются весьма важными в общей схеме получения управляемой термоядерной реакции. Как правило, сценарий этих экспериментов основан на использовании малой добавки легкой примеси (чаще водорода) в дейтериевой плазме. При этом различаются два варианта постановки экспериментов: первый, когда количество легкой примеси не превосходит нескольких процентов, приводит к нагреву основных компонент плазмы через энергичные примесные ионы, и второй – с количеством легких примесных ионов 10–30%, когда осуществляется режим трансформации БМЗ волны в бернштейновскую, которая затем затухает на электронах плазмы.

Лонгинов и Степанов [1, 2] предложили усложнить эту схему нагрева. Они показали, что присутствие в плазме небольшого количества более тяжелых ионов с $m/Z \geq 2$ должно приводить к сильному затуханию бернштейновской волны на этих ионах и как следствие к эффективному нагреву основной ионной компоненты плазмы. Для этого зона второй циклотронной гармоники третьего сорта ионов должна находиться при таких магнитных полях, когда трансформация исходной БМЗ волны в бернштейновскую уже произошла.

На установках ТЕР [3] и Т-10 [4] были проведены специальные эксперименты по ИЦР нагреву в плазме, куда дозированно добавлялась примесь ионов либо ванадия [3], либо неона [4]. Была обнаружена повышенная скорость роста ионной температуры, хотя предельные температуры остались на прежнем уровне.

В токамаке „Туман-3” ведутся эксперименты по ИЦР нагреву плазмы с умеренными температурами электронов (масштаба 400–

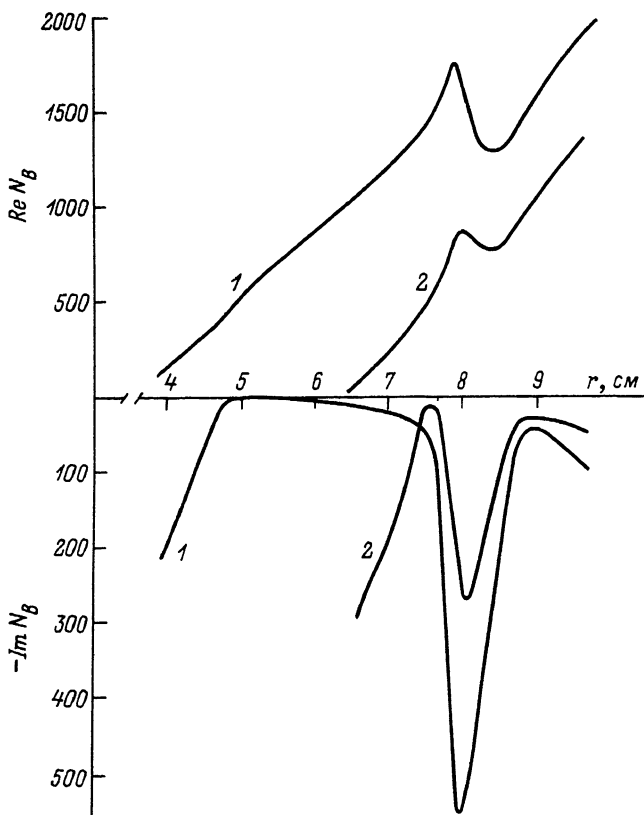


Рис. 1. Дисперсионные кривые для бернштейновских волн в условиях эксперимента на токамаке „Туман-3“. Состав плазмы: 1 - 10% H^+ + 1% N^{+6} + 84% D^+ , 2 - 20% H^+ + 1% N^{+6} + 74% D^+ . $N_e = 50$.

Т а б л и ц а 1

	O^{+7}	N^{+6}	O^{+6}	N^{+5}	O^{+5}	N^{+4}
m	16	14	16	14	16	14
Z	7	6	6	5	5	4
$B_{рез}$ (кГс)	5.94	6.08	6.92	7.29	8.3	9.11
$r_{рез}$ (см)	6.7	8.0	13.6	15.7	20.5	23.5

500 эВ). В этих условиях остаточные примеси газов атмосферного воздуха — азота, кислорода, углерода — являются не полностью ионизованными. Правда, применяемая на установке процедура очистки камеры позволяет эффективно избавиться от углерода, но содержа-

Таблица 2

	10% H	20% H	30% H	40% H
B_{tr} (кГс)	5.6	5.9	6.3	6.8
r_{tr} (см)	4.5	7.0	9.5	13.0

ние ионов азота и кислорода составляет около 1%. В таблице 1 приводятся расчетные положения областей, где выполняются условия второй циклотронной гармоники для ионов азота и кислорода разной степени ионизации. При этом значение магнитного поля на оси камеры было выбрано равным 5.2 кГс, чтобы выполнить там условия циклотронного резонанса для водорода на рабочей частоте генератора 8 МГц.

Все указанные резонансные области расположены во внутренней части камеры со стороны сильного магнитного поля.

Положение зоны трансформации возбуждаемых БМЗ волн зависит от относительной концентрации водорода в дейтериевой плазме. Оно сдвигается в сторону более сильных полей с ростом доли водорода. В таблице 2 приведены примеры для поля на оси 5.2 кГс.

Видно, что по мере роста концентрации водорода зона трансформации приближается к области второй циклотронной гармоники примесного иона и затем проходит за нее в область более сильного магнитного поля. При этом данный примесный ион перестает играть какую-либо роль в процессе поглощения волн.

Для оценки эффективности поглощения бернштейновских волн нами были проведены расчеты их дисперсионных кривых для условий эксперимента. При этом использовался полный тензор диэлектрической постоянной горячей плазмы (см., например, [5], стр. 99). Решение дисперсионного уравнения для многокомпонентной плазмы производилось численно в геометрии установки „Туман-3“ при $B_0 = 5.2$ кГс, $n_0 = 3 \cdot 10^{13} \text{ см}^{-3}$, $T_{e0} = 450$ эВ, $T_{i0} = 150$ эВ. Как известно, при вычислении компонент тензора производится двойное суммирование по сортам частиц плазмы и по гармоникам циклотронных частиц, причем каждое слагаемое содержит множители типа $e^{-Z\alpha} I_n(Z\alpha)$, где I_n — модифицированная функция Бесселя, $Z\alpha = \frac{1}{2}(K_1 \rho_{L\alpha})^2$. При решении дисперсионного уравнения предел суммирования по n определялся из соотношения $I_n(Z\alpha)/I_0(Z\alpha) \leq 10^{-8}$, что позволило тщательно проследить ход дисперсионных кривых вблизи гармоник и при больших значениях параметра $Z\alpha$. Отыскание корней трансцендентного уравнения на комплексной плоскости осуществлялось с помощью итерационного метода Мюллера.

На рис. 1 приведены дисперсионные кривые для двух композиций состава плазмы: 1 — 10% H^+ + 1% N^{+6} 84% D , 2 — 20% H^+ + 1% N^{+6} + 74% D^+ при $N_{\parallel} = 50$. Относительные концентрации

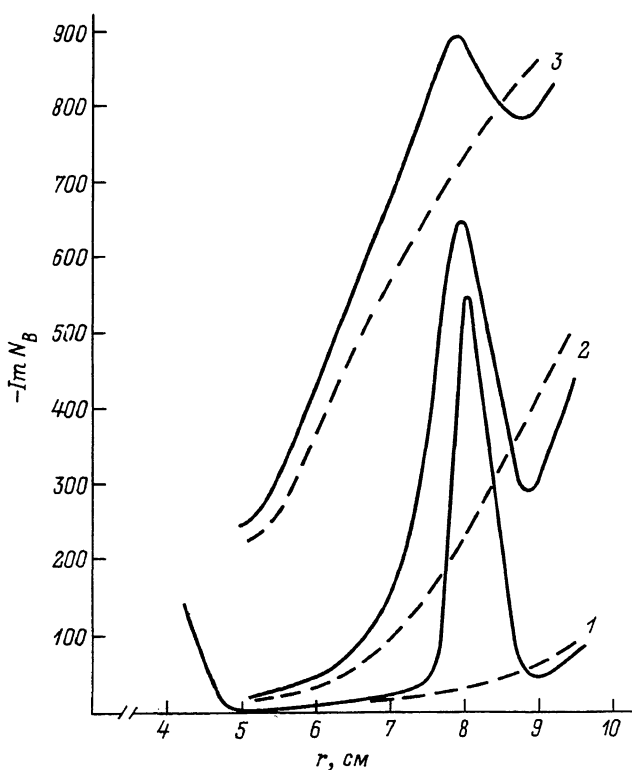


Рис. 2. Ход мнимой части коэффициента преломления бернштейновских волн для плазмы состава $10\% H^+ + 1\% N^{+6} + 84\% D^+$ (сплошная линия) и $10\% H^+ + 90\% D^+$ (пунктир). 1 - $N_{H_2} = 50$, 2 - 70, 3 - 100.

ионов вычислялись по отношению к электронной концентрации. Обе кривые демонстрируют резкое усиление поглощение при $r \approx 8$ см, связанное с наличием ионов N^{+6} . Причем для случая 2 (20% водорода) зона поглощения лежит непосредственно за зоной трансформацией БМЗ волны в бернштейновскую, а для случая 1 (10% водорода) трансформация происходит значительно раньше, и бернштейновская волна, прежде чем она достигнет зоны поглощения на ионах азота, может отдать заметную долю своей энергии электронам плазмы. Эффективность этого процесса определяется температурой электронов и продольным замедлением волны. На рис. 2 приводятся мнимые части коэффициента преломления бернштейновских волн для 1 варианта композиции плазмы при $N_{H_2} = 50, 70$ и 100 (кривые 1, 2 и 3 соответственно). Пунктиром показан ход мнимой части N_B при отсутствии примеси азота. Видно, что при сильных замедлениях поглощение на электронах становится определяющим.

Проведенные расчеты позволяют лучше понять результаты экспериментов по ИЦР нагреву на установке „Туман-3“ [6, 7]. В этих экспериментах наблюдался устойчивый нагрев ионной компоненты вплоть до весьма больших концентраций добавки водорода (50–60%), что трудно объяснить с точки зрения затухания волн в чистой водородно-дейтериевой плазме. Что касается нагрева электронов, то он наблюдался далеко не регулярно. По-видимому, для деталей процесса нагрева плазмы важна конкуренция между ионами и электронами в поглощении волн, которая в свою очередь определяется тонким соотношением концентраций различных компонент плазмы и спектром возбуждаемых волн.

Список литературы

- [1] Longinov A.V., Stepanov K.N. // Proc. of the 4th Int. Symp., Roma. 1984. V. 1. P. 489.
- [2] Longinov A.V., Pavlov S.S., Stepanov K.N. // Proc. of the 12th Europ. Conf. on Contr. Fusion and Plasma Physics. Budapest. 1985. V. 9F. Part II. P. 156.
- [3] TFR Group. Nud. Fusion. 1986. v. 26. N 7. P. 873.
- [4] Al'ikaev V.V., Beresovskij E.L. et al. Proc. of the 12th Europ. conf. on Contr. Fusion and Plasma Physics. Budapest. 1985. V. 9F. Part II. P. 156.
- [5] Гинзбург В.Л., Рухадзе А.А. Волны в магнитоактивной плазме. М.: Наука. 1970.
- [6] Аскинази Л.Г., Голант В.Е. и др. // Письма в ЖТФ. 1985. Т. 11. В. 5. С. 315.
- [7] Askinazi L.G., Golant V.E. et all. Proc. of the 12th Europ. Conf. on Contr. Fusion and Plasma Physics. Budapest. 1985. V. 9F. Part II. P. 363.

Физико-технический институт
им. А.Ф. Иоффе АН СССР,
Ленинград

Поступило в Редакцию
21 января 1989 г.